

### Література

1. Clabaugh W.S., Swiggard E.M., Gilchrist R. // J. Res. Natl. Bur. Std. — 1956. — 56, № 5. — P. 289–291.
2. Рагуля А.В., Васильків О.О., Скороход В.В. // Порошк. металургия. — 1997. — № 3/4. — С. 59–65.
3. Xu J., Tsutai S., Hayashi S., Nakagawa Z. // J.Ceram.Soc.Japan. — 1999. — 107, № 1241. — P. 27–30.
4. Погибко В.М., Приседский В.В., Сидак И.Л. // Вопросы химии и хим.технологии. — 2010. — № 1. — С. 110–115.
5. Gallagher P.K., Schrey F. // J. Amer. Ceram. Soc. — 1963. — 46. — № 12. — P. 567–573.
6. Potdar H.S., Deshpande S.B., Deshpande A.S. et al. // Intern. J. Inorg. Mater. — 2001. — № 3. — P. 613–623.
7. Ischenko V., Pippel E., Köferstein R. et al. // Solid State Sciences. — 2007. — № 9. — P. 21–26.
8. Sairman Patra B., Otta S., Bhattacharya S.D. // Termochimica Acta. — 2006. — 441. — P. 84–88.
9. Kohlram Y.B., Potdar H.S., Deshpande S.B., Gaikwad A.B. // Mat. Chem. Physics. — 2006. — № 97. — P. 295–300.
10. Kongtaweeleer S., Sinclair D.C., Panichphant S. // Current Appl. Phys. — 2006. — № 6. — P. 474–477.
11. Tkach A., Vilarinho P.M., Kholkin A. L. // J.Appl.Phys.Letters. — 2005. — № 86. — P. 1729–1732.
12. Jeon Jae-Ho. // J. Europ. Ceram. Soc. — 2004. — № 24. — P. 1045–1048.
13. Лучинський Г.П. Хімія титана. — М.: Хімія, 1971. — 472 с.
14. Погибко В.М., Приседский В.В., Сидак И.Л., Верещак В.Г. // Наукові праці ДонНТУ. Серія: Хімія і хімічна технологія. — 2010. — Вип. 162 (14). — С. 48–52.
15. Gavilan E., Audebrand N., Jeanneau E. // Solid State Sci. — 2007. — № 9. — P. 985–999.
16. Приседский В.В., Гусакова Л.Г., Клинов В.В. // Изв. АН СССР, Сер. Неорган. материалы. — 1974. — Вип. 10. — № 12. — С. 2166–2172.
17. Гусакова Л.Г., Приседский В.В., Клинов В.В. // Ж.неорган.химии. — 1981. — Вып. 26, № 9. — С. 2335–2340.
18. Реми Г. Курс неорганической химии. — М.: ИЛ, 1963. — Т. 1. — 313 с.

© Приседский В.В., Погибко В.М., 2011

Надійшла до редакції 24.02.2011

УДК 541.64:542.62:546.23

**Н.В. Щебетовская** (Донбасская национальная академия строительства и архитектуры)

### ПОСТРОЕНИЕ ДИАГРАММ СОСТОЯНИЯ РЕЗОРЦИН – ГИДРОХИНОН И ПИРОКАТЕХИН – ГИДРОХИНОН МЕТОДАМИ ТЕРМИЧЕСКОГО АНАЛИЗА

В работе методами термического анализа построены диаграммы состояния резорцин – гидрохинон и пирокатехин – гидрохинон. Определены минимальные температуры начала кристаллизации. Установлена закономерность изменения предкристаллизационных переохлаждений в этих системах по мере изменения концентрации компонентов. Результаты трактуются с точки зрения молекуллярного и кристаллического строения смесей в системах резорцин – гидрохинон и пирокатехин – гидрохинон.

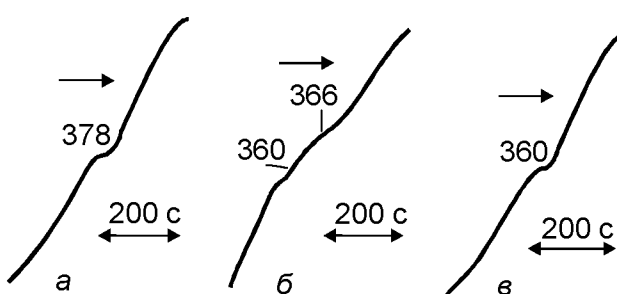
**Ключевые слова:** резорцин, пирокатехин, гидрохинон, кристаллизация, переохлаждение, диаграмма состояния, термический анализ.

Ввиду отсутствия в литературе сведений о бинарных системах двухатомных фенолов резорцин — гидрохинон, пирокатехин — гидрохинон была поставлена задача построения подобных диаграмм в части, охватывающих плавление и кристаллизацию, методами термического анализа. Подобные исследования были нами проведены ранее при изучении смесей в системе резорцин — пирокатехин [1].

Были исследованы следующие бинарные сплавы: в системе резорцин ( $P$ )<sub>100-x</sub> — гидрохинон ( $\Gamma$ )<sub>x</sub>, где  $x = 0$  (образец I — чистый резорцин  $P$ ), 5 (II), 10 (III), 20 (IV), 30 (V), 33 (VI), 40 (VII), 50 (VIII), 60 (IX), 70 (X), 80 (XI), 85 (XII), 90 (XIII), 100 вес.%  $\Gamma$  (XIV — чистый гидрохинон  $\Gamma$ ), в системе пирокатехин ( $\Pi$ )<sub>100-x</sub> — гидрохинон ( $\Gamma$ )<sub>x</sub>, где  $x = 0$  (I), 10 (II), 20 (III), 30 (IV), 33 (V), 40 (VI), 50 (VII), 60 (VIII), 70 (IX), 80 (X), 90 (XI), 100 вес.%  $\Gamma$  (XII). Сплавы готовили путем предварительного диспергирования компонентов, их смешения, сплавления и тщательного перемешивания. Образцы помещались в кварцевые сосудики Степанова диаметром 13, высотой 15 мм и толщиной стенок 1,5 мм. Масса всех образцов была одинаковой и составляла 0,45 г. Массы отдельных компонентов взвешивали на электронных весах ВЛКТ-500г-М.

Основными методами исследования были метод обычного термического анализа (ТА) в координатах температура  $T$  — время  $\tau$  и дифференциально-термического анализа (ДТА). Термоциклирование проводили в специально изготовленной печи сопротивления со скоростями нагревания и охлаждения в пределах 0,08–0,10 К/с. Приведенные скорости и массы, как было показано в работах [2–3], являются наиболее удобными для изучения предкристаллизационных переохлаждений  $\Delta T^-$ , поскольку их средние значения достаточно устойчивы и практически не зависят от скоростей охлаждения от 0,001 до 10 К/с, от массы (от 0,1 до нескольких грамм), от величины прогрева  $\Delta T^+$  жидкой фазы относительно  $T_L$  (от 10 до 60 градусов) и от времени изотермической выдержки расплава в течение нескольких часов. Температуру измеряли с помощью хромель–алюмелевой термопары толщиной 0,2 мм, спай которой был погружен в образец. Погрешность измерения температуры составляла 0,5 К. Термограммы записывали на диагностическую ленту потенциометра КСП-4. Кроме того, температуру контролировали электронным вольтметром В7-38. Достоверность результатов подтверждалась на основании их воспроизводимости при большом количестве последовательных термоциклов (до 20 на каждом образце) и совпадением реперных точек (температур плавления резорцина, пирокатехина и гидрохинона) со справочными данными.

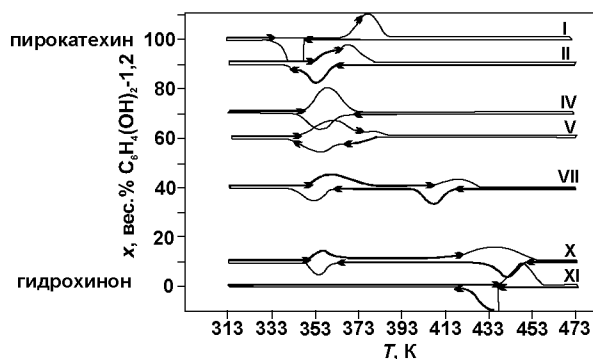
На основании кривых ТА и ДТА найдены значения температур ликвидус  $T_L$  и солидус  $T_S$  с разбросом  $\pm 1,0 \div 2,0$  К, а также средние минимальные температуры  $\langle T_{\min} \rangle$  в области переохлаждения на момент начала кристаллизации и энталпии плавления  $\Delta H_L$ . В качестве примера на рис. 1 приведены кривые нагревания пирокатехина (а), сплава 70%  $\Pi + 30\%$   $\Gamma$  (б) и гидрохинона (в), на которых видны плато с характерными эндо-эффектами.



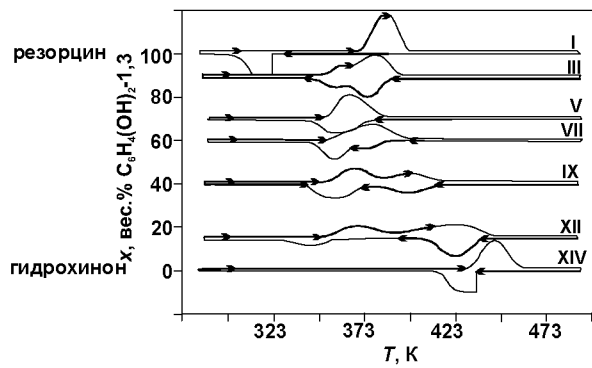
**Рис. 1.** Термограмми плавлення пирокатехіна (а), сплава 70% П+30% Г (б) і гідрохінона (в), отримані методом ТА. Температури дані в градусах Кельвіна.

Температури дані в градусах Кельвіна.

кри сталізациї в області переохолоджень для изучених систем сведено в таблицу 1 и 2.



**Рис. 2.** Експериментальні ДТА-грамми, характеризуючі плавлення і кристалізацію смесей в системі пирокатехін-гідрохінон



**Рис. 3.** Експериментальні ДТА-грамми, характеризуючі плавлення і кристалізацію смесей в системі резорцин – гідрохінон

**Таблиця 1.** Експериментальні дані по температурам солидус  $T_s$ , ликвидус  $T_L$  і мінімальним температурам  $T_{min}$  в області переохолоджень в системі резорцин – гідрохінон

№ образцов	Состав сплавов	$T_s$ , K	$T_L$ , K	$\langle T_{min} \rangle$ , K
I	Резорцин (Р)	383	383	323
II	95%Р + 5%Г	362 – 364	376 – 378	333
III	90%Р + 10%Г	361 – 365	375 – 376	333
IV	80%Р + 20%Г	363 – 365	367 – 368	334
V	70%Р + 30%Г	365 – 366	367 – 368	345
VI (э)	67%Р + 33%Г	362 – 345	363 – 365	346
VII	60%Р + 40%Г	363 – 366	368 – 370	368
VIII	50%Р + 50%Г	363 – 364	382 – 383	382
IX	40%Р + 60%Г	361 – 363	402 – 403	402
X	30%Р + 70%Г	365 – 366	418 – 420	418
XI	20%Р + 80%Г	364 – 365	425 – 429	425
XII	15%Р + 85%Г	363 – 364	433 – 435	430
XIII	10%Р + 90%Г	362 – 364	437 – 440	432
XIV	Гідрохінон (Г)	447	447	439

**Таблица 2.** Экспериментальные данные по температурам солидус  $T_s$ , ликвидус  $T_l$  и минимальным температурам в системе пиракатехин - гидрохинон

№ образцов	Состав сплавов	$T_S, K$	$T_L, K$	$\langle T_{\min} \rangle, K$
I	Пирокатехин (П)	378	378	348
II	90%П + 10%Г	358-360	372-374	347
III	80%П + 20%Г	359-361	365-367	348
IV (Э)	70%П + 30%Г	357-359	359-361	347
V	60%П + 40%Г	358-361	377-379	378
VI	50%П + 50%Г	360-361	399-401	399
VII	40%П + 60%Г	358-359	417-419	417
VIII	30%П + 70%Г	359-361	422-423	421
IX	20%П + 80%Г	360-362	432-433	430
X	10%П + 90%Г	358-360	438-439	433
XI	Гидрохинон (Г)	447	447	438

Статистическая обработка полученных результатов позволила построить интерполяционные кривые зависимости температур ликвидус от состава  $T_l = f(x)$ :

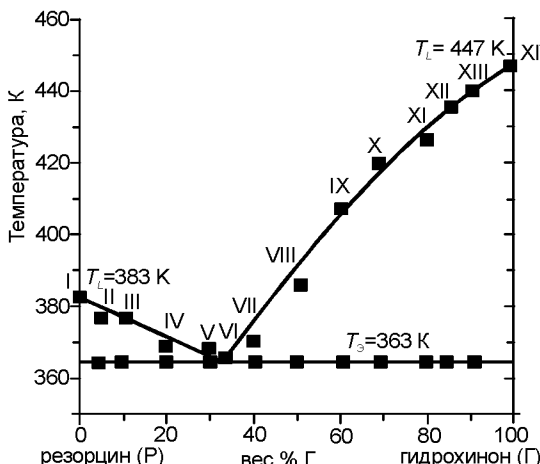
- в системе резорцин - гидрохинон для доэвтектических ( $x \leq 0,33$ ) и заэвтектических ( $x \geq 0,33$ ) сплавов эта зависимость имеет следующий вид

$$T_L = \begin{cases} 382,726 - 1,03664x + 0,0152086x^2, & x \leq 0,33, \\ 296,903 + 2,10921x - 0,00597893x^2, & x \geq 0,33, \end{cases} \quad R^2 = 0,972679, SSE = 7,34467$$

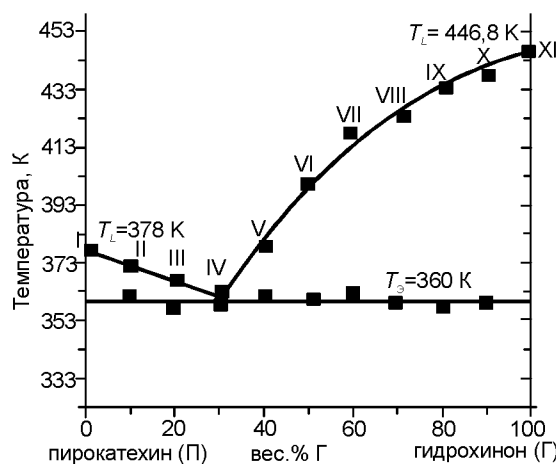
– в системе пирокатехин – гидрохинон для доэвтектических ( $x \leq 0,3$ ) и заэвтектических ( $x \geq 0,3$ ) сплавов

$$T_L = \begin{cases} 378,15 - 0,535x - 0,0025x^2, & x \leq 0,3, \\ 282,881 + 2,9869x - 0,0136905x^2, & x \geq 0,3, \end{cases} \quad R^2 = 0,99759, SSE = 7,34467$$

По температурам  $T_s$  и  $T_L$  построены диаграммы состояния резорцин – гидрохинон и пирокатехин – гидрохинон в области плавления и кристаллизации (рис. 4 и 5).



**Рис. 4.** Диаграмма состояния резорцин – гидрохинон



**Рис. 5.** Диаграмма состояния пирокатехин – гидрохинон

Как видно из этих рисунков, диаграммы состояния резорцин (Р) – гидрохинон (Г) и пирокатехин (П) – гидрохинон (Г) являются диаграммами эвтектического типа: для первой системы эвтектика приходится на состав 67% Р+33%Г при температуре  $T_g=363$  К, а во второй — 70% П+30%Г, при  $T_g=360$  К.

Причина образования диаграмм состояния эвтектического типа в системах резорцин – гидрохинон и пирокатехин – гидрохинон, по-видимому, заключается в том, что индивидуальные диоксибензолы имеют разные кристаллические модификации при высоких температурах: ромбический резорцин и ромбоэдрический гидрохинон, моноклинный пирокатехин и ромбоэдрический гидрохинон.

Кроме того, относительно слабые дипольные моменты молекул гидрохинона  $C_6H_4(OH)_2$ -1,4 с гидроксилами OH в пара- положении не позволяют образовывать нуклеофильные водородные связи с молекулами резорцина  $C_6H_4(OH)_2$ -1,3 с гидроксилами OH в мета- положении в системе резорцин – гидрохинон и пирокатехина  $C_6H_4(OH)_2$ -1,2 с гидроксилами OH в орто- положении в системе пирокатехин – гидрохинон. Данное обстоятельство может способствовать «свободе выбора» своих молекул при кристаллизации смесей ниже температуры ликвидус: в доэвтектической области — пирокатехина, в заэвтектической области — гидрохинона. По-видимому, подобная же ситуация имеет место и в системе резорцин – гидрохинон со смесью молекул *m*-диоксибензола  $C_6H_4(OH)_2$ -1,3 с молекулами *p*-диоксибензола  $C_6H_4(OH)_2$ -1,4.

*Работа выполнена по госбюджетной тематике по линии Министерства образования и науки Украины в области фундаментальных исследований*

### Література

1. Александров В.Д. Построение диаграммы состояния резорцин – пирокатехин методами термического анализа / В.Д. Александров, В.А. Постников, Н.В. Щебетовская // Наукові праці Донецького національного технічного університету. Серія: Хімія і хімічна технологія. — 2010. — Вип. 15(163). — С. 92–98.
2. Александров В.Д. Исследование переохлаждений при кристаллизации пирокатехина и резорцина / В.Д. Александров, В.А. Постников // Наукові праці Донецького національного технічного університету. Серія: Хімія і хімічна технологія. — 2004. — Вип. 77. — С. 7–12.
3. Уэндландт У. Термические методы анализа / У. Уэндландт. — М.: Химия, 1981. — 519 с.

© Щебетовская Н.В., 2011

Надійшла до редколегії 10.11.2010

УДК 546.26-162:66.094.3:661.669

**Е.С. Папаянина, М.В. Савоськин, А.Н. Вдовиченко, М.Ю. Родыгин, И.Е. Носырев (ИнФОУ им. Л.М. Литвиненко НАН Украины), Ю.Е. Черныш, И.Г. Бородкина, Г.С. Бородкин (НИИФОХ ЮФУ РАН)**

### ПРЕВРАЩЕНИЯ ОКСИДА ГРАФИТА ПОД ДЕЙСТВИЕМ УЛЬТРАЗВУКА В ВОДНОЙ СРЕДЕ

Установлено влияние ультразвука на химический и гранулометрический состав оксида графита. Определены размеры частиц различных фракций оксида графита и установлен их химический состав. Действием ультразвука на оксида графита получен ковалентный гидроксид графита  $C_3OH$ .